



#### Статья

# Высокоэффективный фотокатализ розы, управляемый видимым светом Производство бенгальских красителей и водорода с использованием Ag@Cu/TiO2 Тройные нанокомпозиты

Сатиш Ядав <sup>1</sup>, <sub>Асим Джилани</sub> <sup>2</sup>, Сарика Сачан и <sup>1</sup>, Прамод Кумар 1,\*, Саджид Али Ансари <sup>3</sup>, Мухаммад Афзал <sup>4</sup> Мохаммад Омаиш Ансари 2,\*

- Лаборатория функциональных материалов, химический факультет, профессор Раджендра Сингх (Раджу Бхайя), Институт физических наук для изучения и исследований, Университет Вира Бахадура Сингха Пурванчала, Джаунпур 222003, Уттар-Прадеш, Индия; sarikasachan27aug@gmail.com (CC)
- <sup>2</sup> Центр нанотехнологий, Университет короля Абдель Азиза, Джидда, 21589, Саудовская Аравия; asim.jilane@gmail.com Факультет
- <sup>3</sup> физики, Научный колледж, Университет короля Фейсала, почтовый ящик 400, Аль-Ахса 31982, Саудовская Аравия; sansari@kfu.edu.sa
- 4 Департамент фармацевтических наук, фармацевтическая программа, Медицинский колледж Баттерджи, почтовый ящик 6231, Джидда 21442, Саудовская Аравия; mohmmad.afzal@bmc.edu.sa

Аннотация: В этой работе тройной нанокомпозит Ag@Cu/TiO2 был синтезирован с помощью простой химической методики и впоследствии изучен на предмет фотокаталитической деградации красителя

\* Адрес для переписки: pkchemistry.2009@gmail.com (ПК); moansari@kau.edu.sa (MOA)

бенгальского розового (RB) под действием видимого света, а также образования из него водорода. Форма, размер и топографический анализ с помощью сканирующей и просвечивающей электронной микроскопии показали, что все компоненты хорошо интеркалированы и находятся в нанодиапазоне. Энергодисперсионный рентгеноструктурный анализ Ag@Cu/TiO2 показал наличие Ti, O, Cu и Ag и отсутствие каких-либо других примесей, а картографический анализ показал их равномерное распределение. Рентгеновская фотонная спектроскопия также показала успешное взаимодействие между компонентами. Кроме того, были исследованы изменения химического состояния Ti2p . С использованием соотношений Тауца ширина запрещенной зоны Ag@Cu/TiO2 оказалась самой низкой при 2,86 эВ по сравнению с чистым TiO2 (3,28 эВ), бинарным Ag/TiO2 (3,13 эВ) и Cu/TiO2 (3,00 эВ). Ag @Cu/TiO2 продемонстрировал самую низкую интенсивность фотолюминесценции, что предполагает самую высокую эффективность разложения и самую низкую скорость рекомбинации. Применение Ag@Cu/TiO2 для фотокаталитической деградации красителя RB показало скорость деградации ~81,07%, что превышает эффективность чистого TiO2 в 3,31 раза. Помимо этого, было обнаружено, что производство 

1 , предполагая, что медь и серебро внесли синергический вклад, что привело к водорода Ag@Cu/TiO2 составляет 17,1 мкмоль ч-1 г, что превышает увеличение производства водорода чистого TiO2 .

Ключевые слова: краситель бенгальская роза; видимая область; фотокаталитическая деградация; Тройные нанокомпозиты Aq@Cu/TiO2



Цитирование: Ядав, С.; Джилани, А.; Сачан, С.; Кумар, П.; Ансари, ЮАР; Афзал, М.; Ансари, М.О. Высокоэффективный фотокатализ красителя бенгальской розы и производства водорода с использованием видимого света с использованием тройных нанокомпозитов Ag@Cu/TiO2. Химия 2024, 6, 489-505. https://doi.org/10.3390/chemistry6030028

Академические редакторы: Джангвидо Рамис, Винченцо Вайано и Ольга Сакко

Поступила: 15 апреля 2024 г.
Пересмотрено: 29 мая 2024 г.
Принято: 30 мая 2024 г.
Опубликовано: 20 июня 2024 г.



Копирайт: © 2024 авторов.
Лицензиат MDPI, Базель, Швейцария.
Эта статья находится в открытом доступе.
распространяется на условиях и
условия Creative Commons
Лицензия с указанием авторства (CC BY)
( https://creativecommons.org/licenses/by/

# 1. Введение

Вода является важным элементом для выживания жизни на Земле и присутствует на Земле в виде рек, морей, озер и грунтовых вод. Быстрый рост населения , развитие, промышленная революция и изменение климата загрязнили все аспекты водных ресурсов [1]. Основными загрязнителями воды являются кожевенная промышленность, кожа, резина, красители, косметика, пищевые фармацевтические препараты, типографские краски и т. д. [2,3]. Среди них текстильная, фармацевтическая, полиграфическая и тканевая промышленность сбрасывают в водоемы до 17–20% цветных красителей, что приводит к загрязнению воды [4]. Синтетические цветные красители не биоразлагаемы и обладают высокой фотостабильностью [5]. Краситель подавляет солнечный свет, снижает растворимость молекулярного кислорода в воде, что влияет на водную жизнь организмов, а также на водную экосистему и оказывает долгосрочное токсическое и канцерогенное воздейс

Одним из наиболее широко используемых органических красителей является краситель бенгальской розы (RB), который используется в текстильной, полиграфической и косметической фотохимической промышленности. Его необходимо удалять из воды, поскольку он вызывает зуд, покраснение, воспаление, раздражение и образование волдырей при прямом контакте с кожей. В последнее время для разложения загрязнений красителями используются различные методы, включая мембранную фильтрацию, коагуляцию, флокуляцию и адсорбцик Однако все эти методы имеют ограничения, включая сточные воды, образование осадка и трудности с реактивацией адсорбента. Фотокатализ — один из наиболее распространенных и экономически эффективных методов разложения красителей РБ из воды с использованием эффективных нанокатализаторов [9]. Фотокатализ видимого света — это процесс, в котором энергия видимого света используется для инициирования химической реакции. Он предполагает использование фотокатализатора, способного поглощать свет видимого спектра и способствовать превращению реагентов в желаемый продукт [10].

В последнее время этот метод вызвал большой интерес благодаря своей экологичности, универсальности, селективности, эффективности, экономичности и устойчивости, что делает его широко применимым для широкого спектра применений.

Наночастицы проявляют свойства, отличные от объемных материалов, молекулярных разновидностей или атомов, из которых они получены, из-за высокого отношения поверхностного объема [11]. Различные типы наночастиц переходных металлов [12], оксидов и халькогенидов переходных металлов используются для различных применений, таких как хранение энергии, хранение магнитных данных, датчики и феррожидкости, а также фотокаталитическая деградация органических красителей. Наночастицы, особенно наночастицы оксидов металлов, широко используются в области фотокатализа видимого света. Эти наночастицы обладают уникальными свойствами, которые делают их эффективными в фотокатализе различных реакций. Например, наночастицы оксидов металлов, таких как оксид титана (ТіО2) [13], оксид цинка (ZnO) [14] и оксид вольфрама (WO3) [15], широко изучались на предмет их фотокаталитических способностей. Однако у использования наночастиц для фотокатализа есть определенные недостатки, такие как их большая запрещенная зона и требование, чтобы ширина запрещенной зоны фотокатализатора соответствовала энергии фотонов видимого света. чтобы достичь эффективного фотокатализа в видимом свете. К сожалению, многие наночастицы оксидов металлов имеют запрещенную зону, которая соответствует ультрафиолетовому (УФ-видимому) свету, что ограничивает их фотокаталитическую активность в видимом свете. В процессе фотокатализа наночастицы могут агломерироваться, что приводит к уменьшению площади поверхности, а также к ограничению доступных реакционно-активных центров . Эта агрегация может происходить из-за различных факторов, таких как высокая концентрация, изменение рН или наличие примесей [16]. Чтобы преодолеть это ограничение, исследователи разработали различные стратегии, такие как легирование, модификация поверхности и изменение запрещенной зоны, чтобы активировать наночастицы оксидов металлов при освещении видимым светом. Эти модификации позволяют наночастицам поглощать более широкий спектр света, включая видимый свет, тем самым улучшая их фотокаталитическую эффективность [17]. Многочисленные оксиды переходных металлов , такие как ZnO, TiO2, NiO и CuO, а также халькогениды металлов, такие как ZnS и MoS2, использовались для удаления цветных красителей, промышленных загрязнителей и фармацевтических водных отходов [18-20]. Наиболее изученным оксидом переходного металла для фотокаталитического разложения загрязнений, а также красителя является TiO2, который обладает сильной окислительной способностью, нетоксичен и чрезвычайно устойчив как к фото-, так и к химической коррозии. Фотокатализ является перспективным методом, поскольку он недорог и экологичен. ТіО2 имеет ширину запрещенной зоны 3,2 эв и поглощает длины волн от 360 до 380 нм в УФ-Вид области.

Некоторые исследования показывают уменьшение запрещенной зоны TiO2 за счет легирования новыми переходными металлами, такими как Cu, Ag, Au, Pt, Ni и Co, а также полианилин (PANI), полипиррол (PPY) и восстановленный оксид графена, что расширяет возможности спектральный сдвиг в видимой области и увеличивает фотокаталитическую активность TiO2 [21]. Показано, что метиловый синий (МБ) и метилоранж (МО) под действием УФ-Вид-излучения деградируют на 96,3% и 97% с использованием TiO2, синтезированного модифицированным сольвотермическим методом. Лин и др. [22] продемонстрировали фотокаталитическое разложение (УФ-ВИД) токсичного 2-хлорфенола с использованием катализатора TiO2. Аналогичным образом, Чжан и др. [23] исследовали фотоэлектрический эффект и фотокаталитические свойства TiO2 путем легирования его наночастицами Аg для усиления фотоэлектрической и фотокаталитической деградации. Минсюань Сунь и др. [24] показали значительное улучшение видимой

область фотокаталитической активности, фотохимической стабильности и низкозарядовой рекомбинации из TiO2, легированного CdS и CdS/MoS2.

На основе вышеизложенного нами синтезированы тройные композиты Ag@Cu/TiO2 сольвотермическим методом in situ для фотокаталитической деградации красителя RB в видимой области света. Синтезированный тройной композит Ag@Cu/TiO2 охарактеризован по структурным и морфологическим характеристикам. Наконец, были глубоко исследованы фотокаталитическая деградация красителя RB и явление выделения водорода в видимой области.

# 2. Экспериментальный раздел 2.1. Материалы и методы

Титан (IV)-изопропоксид (TIP) 97 % от Qualigens, пентагидрат сульфата меди (II) 99,5 % (CuSO4,5H2O) от Sisco Research Laboratories, нитрат серебра 99,8 % (AgNO3) от Sigma Aldrich, аскорбиновая кислота 99,7 % от Sisco Research Laboratories, боргидрид натрия 98 % (NaBH4) от Sisco Research Laboratories, соляная кислота 35 % (HCl) от Sisco Research Laboratories (Мумбаи, Индия) и краситель из бенгальской розы (RB) от Sigma Aldrich (Сент-Луис), Миссури, США) были использованы в этом исследовании. В качестве реакционной среды для процедуры синтеза использовали деионизированную воду.

Для изучения морфологии поверхности и элементного состава использовалась полевая эмиссионная сканирующая электронная микроскопия (JEOL, JSM-7600F, FESEM, Токио, Япония) . Также использовалась трансмиссионная электронная микроскопия (JEOL, JSM, ARM-200F, HRTEM, Токио, Япония). Картирование элементов было записано с использованием энергодисперсионного рентгеновского спектроскопа (EDS) от Oxford Instruments, Оксфордшир, Великобритания, оснащенного FESEM. Для обнаружения элементов использовали рентгеновскую фотоэлектронную спектроскопию (XPS) (ESCALAB 250 от Thermo Fisher Scientific, Уоррингтон, Великобритания) на монохроматизированном источнике рентгеновского излучения Al Ка  $\lambda$  1/4 1486,6 эВ.

#### 2.2. Синтез Aq@Cu/TiO2

Синтез Ag@Cu/TiO2 проводился сольвотермическим методом. В этом методе 6 мл изопропанола диспергировали в 86 мл воды и к нему по каплям добавляли 6 мл HCl. К смеси изопропанола и кислоты медленно добавляли 5 мл TIP и всю смесь помещали в условия перемешивания при 80 С в течение 1 часа, в результате чего получался белый коллоидный раствор (называемый раствором А). Этот белый коллоидный раствор подвергали центрифугированию, а затем собранный TiO2 промывали избытком растворителей (смесь воды и этанола) и окончательно сушили в воздушной печи при 80 С в течение 6 часов с получением чистого TiO2. Cu/TiO2 готовили растворением 0,4 г CuSO4,5H2O в 100 мл (при ~5%ном содержании Cu по TiO2) воды и использованием 0,05 М NaOH для поддержания рН на уровне 12. К указанному выше раствору CuSO4,5H2O По каплям добавляли 30 мл 0,05 М аскорбиновой кислоты и полученный продукт нагревали при 60 С при непрерывном перемешивани Желтый цвет смеси медленно менялся на коричневый, что указывает на образовавшуюся Си (дисперсию Си назвали раствором В). В конечном итоге оба раствора (А и Б) смешивали при непрерывном перемешивании и полученный Cu/TiO2 подвергали центрифугированию, промывали избытком растворителей (воды и этанола) и окончательно сушили при 80 Св течение 6 часов с получением Cu. /TiO2. Ag@Cu/TiO2 готовили, сначала готовя коллоидный раствор наночастиц Aq растворением 0,12 г AqNO3 в 100 мл H2O , а затем к нему по каплям добавляли 30 мл 0,06 M NaBH4 . Бинарный композит Cu/TiO2 добавляли к коллоидному раствору Ад и всю смесь непрерывно перемешивали в течение 2 часов. Таким образом, приготовленный композит Ag@Cu/TiO2 промывали избытком растворителей (воды и этанола) и окончательно сушили при 80 С в течение 6 ч с получением чистого Aq@Cu/TiO2.

Химия 2024, 6, НА ЭКСПЕРТНУЮ РЕЦЕНЗИЮ

Химия 2024, 6 492

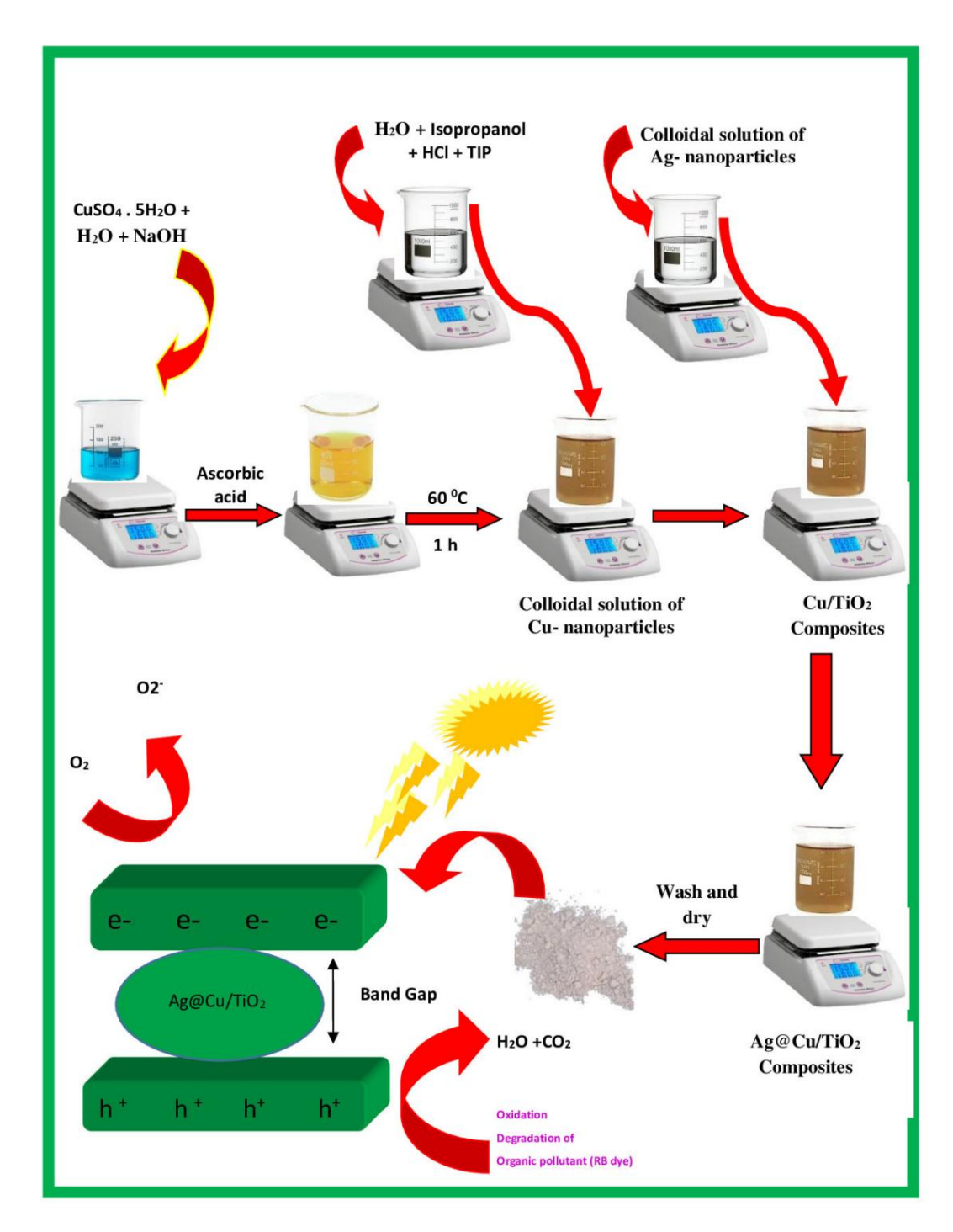


Рисунок 1. Схематическая иллюстрация синтеза Ag@Cu/TiO2 . Рисунок 1. Схематическая иллюстрация синтеза Ag@Cu/TiO2.

2.3. Фотокаталитическая деградация РБ и производство водорода

2.3. ФОТОКАТАЛИТИЧЕСКАЯ ДЕГРАЛЬНЯ РЕЛ ПРИНЗЕВЛОТОВ ВОЛОГОВ ТОТОВОВОЛОГОВ ТОТОВОВОЛОГОВ В ИМЕННО ЧИСТОГО ТІО2, АД/ТІО2, СИ/ТІО ДРА РАЗВИТИЙНОСТВЕ КАЯ ЗАКТИВНОСТЬ СИНТЕЗИРОВАННЫХ КАТАЛИЗАТОРОВ, а именно чистого ТіО2, АД/ТІО2, СИ/ТІО ДРА РАЗВОТИНИ ОВ ВЕЗИВЕННИЕ В ВЕЗ

Эффективность разложения чистого TiO2, Ag/TiO2, Cu/TiO2 и Ag@Cu/TiO2 рассчитывалась по следующему уравнению [25].

Деградация (%) = 
$$\frac{\text{Co Ct}}{\text{Ko}} = 100 \tag{1}$$

В приведенном уравнении Со представляет собой начальную концентрацию красителя RB, а Ct означает концентрацию RB через определенный интервал времени (0, 20, 40 и 60 минут). После этого кажущуюся константу скорости (k) определяли с использованием следующего уравнения.

$$VH \frac{KT}{Ko} = kt$$
 (2)

Для оценки производства водорода в качестве поглотителя использовали метанол. В процессах производства водорода поглотители играют решающую роль в повышении эффективности. Они решают ключевые проблемы, захватывая электрон-дырочные пары и не позволяя им тратить генерируемую энергию [1]. Кроме того, поглотители избирательно нацеливаются и уничтожают молекулы, участвующие в нежелательных побочных реакциях, защищая важнейшие промежуточные соединения, необходимые для выделения водорода. Кроме того, они могут облегчить перемещение фотогенерированных зарядов внутри системы, обеспечивая их эффективное использование для производства водорода. По сути, мусорщики действуют как стражи, оптимизируя различные аспекты процесса для максимизации производства водорода [2].

#### 3. Результат и обсуждение

#### 3.1. Морфологический анализ

поверхности Морфологический анализ TiO2, Ag/TiO2, Cu/TiO2 и Ag@Cu/TiO2 был выполнен с помощью SEM (рис. 2) и TEM (рис. 3). СЭМ чистого TiO2 показывает скопления круглых частиц небольшого размера, упакованных в мелкие и крупные агрегаты. Ag/TiO2, Cu/TiO2 и Ag@Cu/TiO2 имеют схожую морфологию, причем все компоненты находятся в нанодиапазоне. По микрофотографиям можно предсказать, что все компоненты Ag@Cu/TiO2 хорошо интеркалированы друг с другом. Изображения Ag@Cu/TiO2, полученные методом ПЭМ, показывают, что все TiO2, Cu и Ag хорошо интеркалированы друг с другом, при этом размер некоторого количества TiO2 составляет чуть более 100 нм.

Элементный анализ TiO2, Ag/TiO2, Cu/TiO2 и Ag@Cu/TiO2 методом ЭДС показывает наличие Ti и O в TiO2, Ti, O и Ag в Ag/TiO2, Cu, Ti и O в Cu/TiO2 и Cu, Ti, O и Ag в Ag@Cu/TiO2, что свидетельствует об успешном формировании композита, а также об отсутствии каких-либо примесей. Равномерное распределение соответствующих элементов, как показано в результате картографического анализа (рис. 4), свидетельствует об эффективности методологии синтеза.

#### 3.2. Поверхностный и химический анализ.

Элементный состав и функциональные группы полученных катализаторов (чистые TiO2, Ag/TiO2, Cu/TiO2 и Ag@Cu/TiO2) изучены методом рентгеновской фотоэлектронной спектроскопии (РФЭС). Обзорные спектры (рис. 5а) позволили получить представление о поверхностных элементах, а обнаруженный состав проиллюстрирован на рис. 5б. Чистый TiO2 имел состав, содержащий 58,1% кислорода и 41,9% титана. В случае Ag/TiO2 элементы присутствовали в процентном соотношении: 51,7% кислорода, 45,3% титана и 3,0% серебра. Аналогичным образом было подтверждено включение меди в Cu/TiO2 с составом 50,7% кислорода, 43,0% титана и 6,3% меди. Тройной нанокомпозит, называемый Ag@Cu/TiO2, имел элементный состав: 35,4% кислорода, 39,2% титана, 16,7% серебра и 8,7% меди.

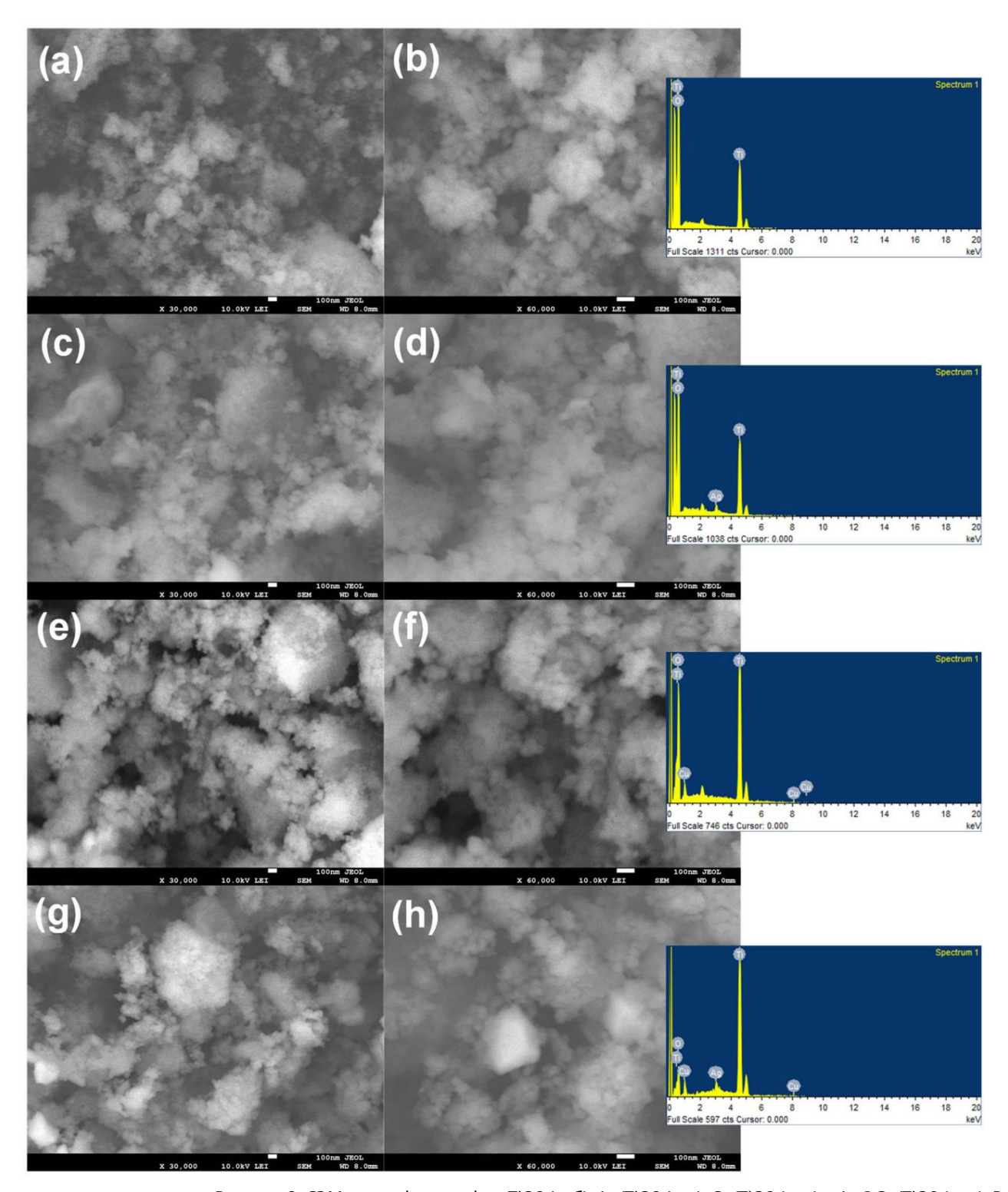


Рисунок 2. СЭМ-микрофотографии TiO2 (а.б.) Ад/TiO2 (в.г.) Си/TiO2 (д.е) и Ад@Си/TiO2 (ж. з), Рисунок 2. СЭМ-микрофотографии TiO2 (а.б.), Ад/TiO2 (е.f.) и Ад@Си/TiO2 (д.h.), а также их соответствующий элементный анализ. вместе с соответствующий им элементным анализом.

Анализ химического состояния Ti2p был дополнительно изучен для выяснения химических взаимодействий в TiO2, Ag/TiO2, Cu/TiO2 и Ag@Cu/TiO2 (рис. 6a-d). При анализе химического состояния чистого TiO2 (рис. 6a) наблюдались отчетливые пики при 457,99 эВ и 463,67 эВ , соответствующие Ti2p3/2 и Ti2p1/2, с вкладами 73,32% и 26,68% соответственно. Введение Ag и Cu в состав TiO2 привело к изменению вкладов Ti2p3/2 и Ti2p1/2. В частности, образец Ag/TiO2 продемоно

суммарные вклады 72,05% (Ti2p3/2) и 27,95% (Ti2p1/2). Аналогично, Cu/TiO2 показал общий вклад 78,38% (Ti2p3/2) и 21,62% (Ti2p1/2). Итоговый тройной композит Ag@Cu/TiO2 показал общий вклад 72,31% (Ti2p3/2) и 27,69% (Ti2p1/2). Таким образом , наблюдаемые изменения атомных процентных вкладов Ti2p3 /2 и Ti2p1/2 в чистом TiO2 после добавления Ag и Cu

указывают на успешное <sub>взаимодействие между компонентами.</sub>

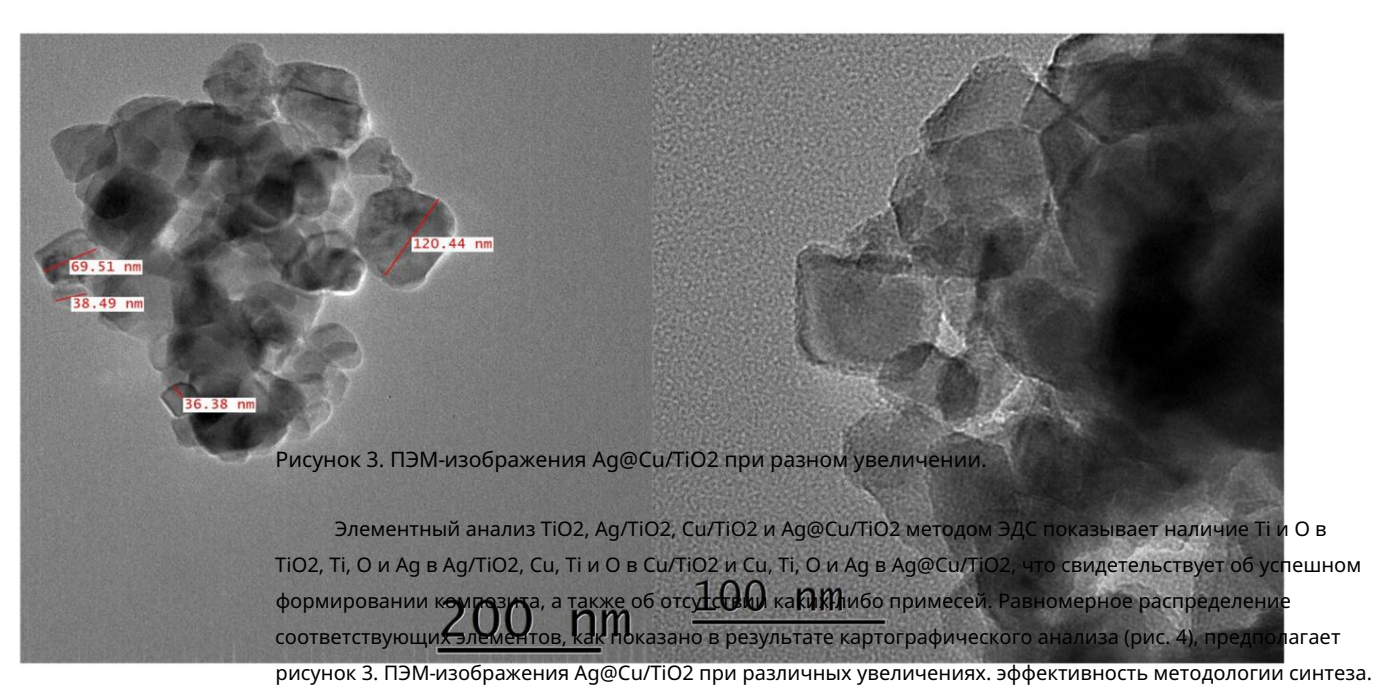
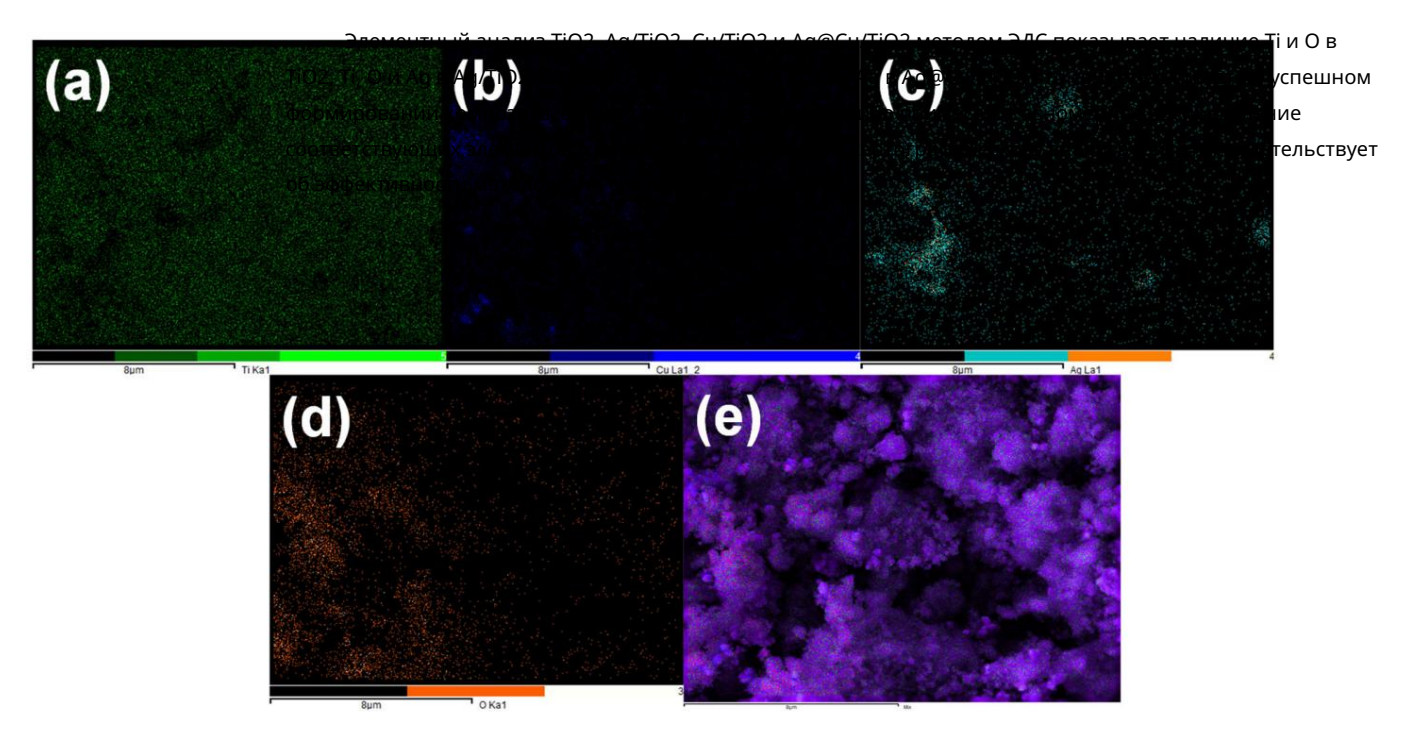


Рисунок 3. ПЭМ-изображения Ag@Cu/TiO2 при разном увеличении.



Purchok  $d_k$  Karamprobabangansmentobaracingagonehka Ti(a),  $\Theta(b)$ , Ag(b), Cu(f) in gmedual haby saggedentian Ti(a).

#### 3.2. Поверхностный и химический анализ. Элементный

состав и функциональные группы полученных катализаторов (чистые TiO2, Ag/TiO2, Cu/TiO2 и Ag@Cu/TiO2) изучены методом рентгеновской фотоэлектронной спектроскопии (РФЭС). Обзорные спектры (рис. 5а) позволили получить представление о поверхностных элементах, а обнаруженный состав проиллюстрирован на рис. 5б. Рис . 4. Элементарное картирование распределения Ti (a), O (b), Ag (c), Cu (d) и смешанных элементов (e).

3.2. Композиционный и химический анализ поверхности

элементы присутствовали в процентном соотношении: кислород 51,7%, титан 45,3%, серебро 3,0%. Аналогичным образом было подтверждено включение меди в смесь Cu/TiO2 , имеющую состав 50,7% кислорода, 43,0% титана и 6,3% меди. Тройной нанокомпозит, называемый Ag@Cu/TiO2, имел элементный состав: 35,4% кислорода, 39,2% титана, 16,7% серебра и 8,7% меди.

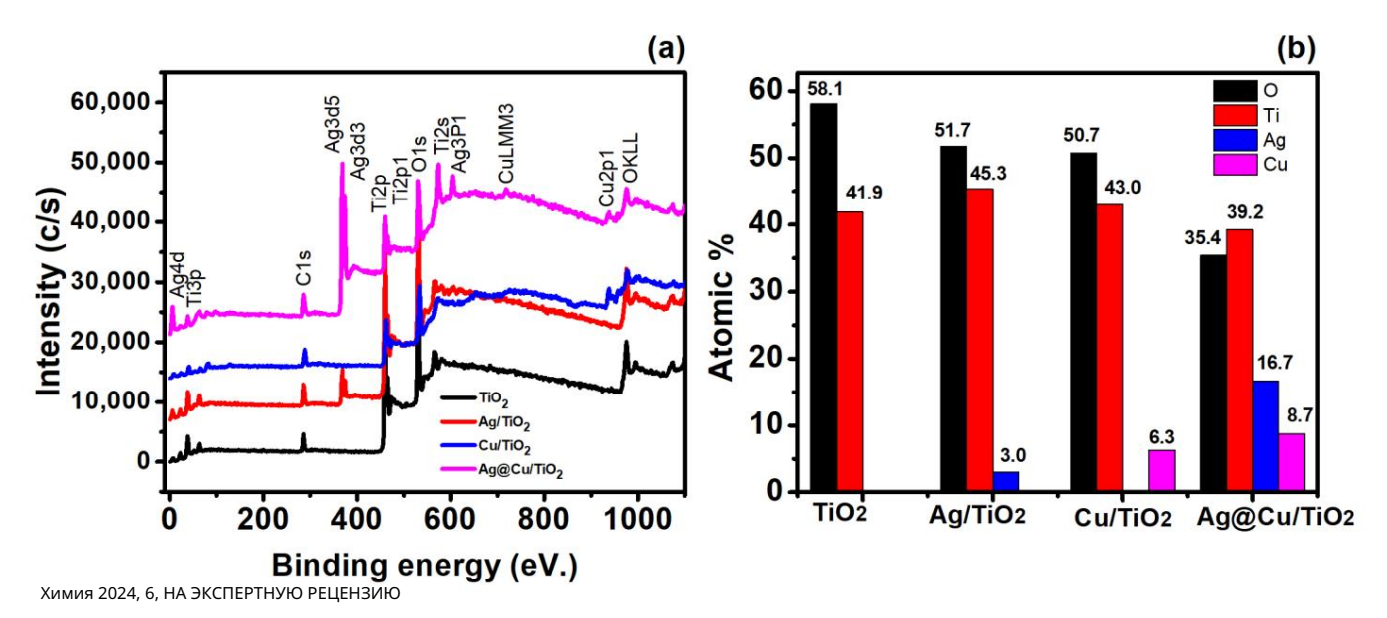
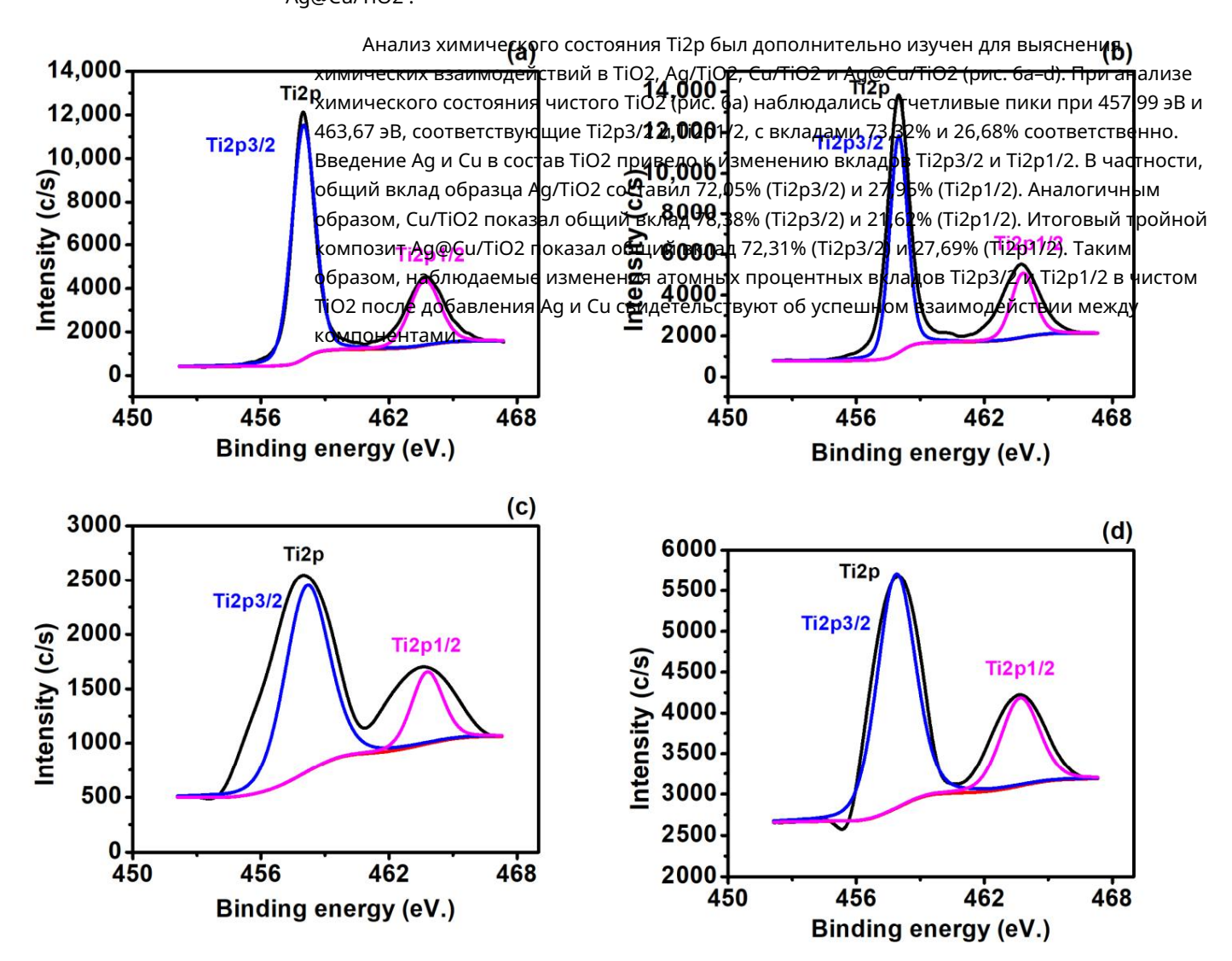


Рис. 5. Спектры РФЭС (a) и состав TiO2, Ag/TiO2, Cu/TiO2 ( б ) и Рис. 5. Спектры РФЭС (a) и состав TiO2 , Ag/TiO2 , Cu ( б) /TiO2 и Ag@Cu/TiO2.

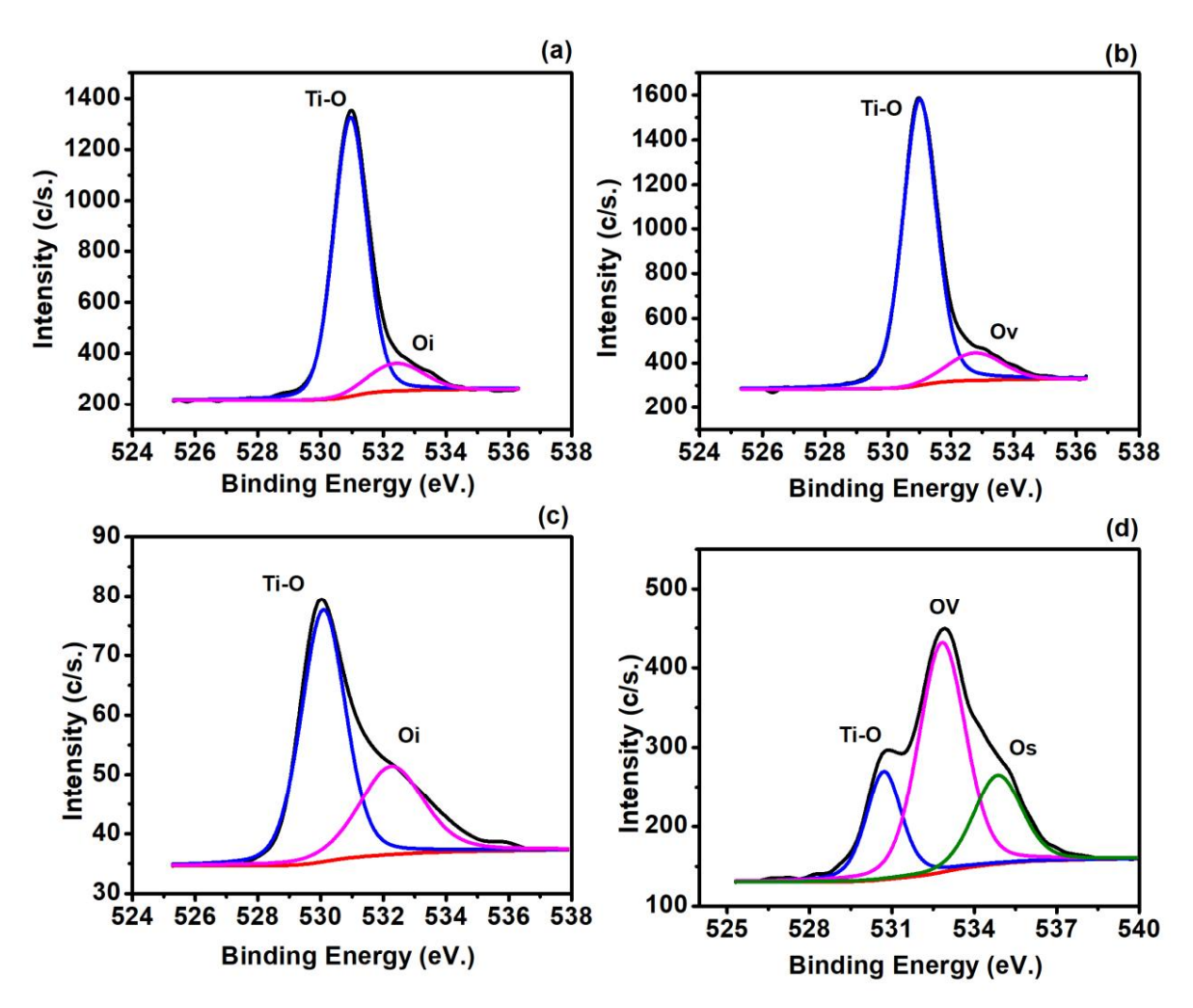
Ag@Cu/TiO2 .



Рисућих  $\delta$ . (a-d) Спектры высокого разрешения Ті2р для Ті02. /Ag/Ti02 C0. C10D2 и C10C1. Ag@Cu/Ti02. Ag@Cu/Ti02.

Спектры O1s чистого TiO2 (рис. 7a) демонстрируют два основных пика при 530 эВ и 532,5 эВ, которые объясняются взаимодействием кислорода и Ti при 530 эВ и кислородной вакансией при 532,5 эВ соответственно [1]. Примечательно, что присутствие Ag в TiO2 (Ag/ TiO2), как показано на рисунке 7b, приводит к увеличению кислородной вакансии с 12,54% до 13,

Спектры O1s чистого TiO2 (рис. 7а) демонстрируют два основных пика при 530 эВ и 532,5 эВ, которые объясняются взаимодействием кислорода и Ti при 530 эВ и кислородной вакансией при 532,5 эВ соответственно [1]. Примечательно, что присутствие Ag в TiO2 (Ag/TiO2), как показано на рисунке 7b, приводит к увеличению кислородной вакансии с 12,54% до 13,12%. Эта тенденция продолжается с добавлением Cu к TiO2 (Cu/TiO2) и тройного соединения Ag@Cu/TiO2. Максимум кислородной вакансии, достигающий 56,45%, наблюдается для Ag@Cu/TiO2. Эти вакансии служат активными местами захвата молекул красителей и загрязняющих веществ, тем самым усиливая фотокаталитическую активность материала [2]. Эти результаты согласуются с нашими фотокаталитическими результатами, как описано ниже на рисунке 9. Кроме того, очевиден дополнительный пик при энергии около 534,6 эВ для Ag@Cu/TiO2, приписываемый поверхности. Химия 2024, 6, ДЛЯ ЭКСПЕРТНОЙ ОБЗОРА кислорода (OS) , что дополнительно способствует усилению фотокаталитической активности тройного соединения Ag@Cu/TiO2 по сравнению с чистыми TiO2, Ag/TiO2 и Cu/TiO2.



Химижиемическоетьянте ячуян Арядуні Фод (прод. вы) ср. вы) ср. вы и 40,10% и Ag3d3/2 при 368 одна коло вы злача в 68 одна коло в 69 одна кол

Химия 2024, 6 химия 2024, 6, на экспертную рецензию 498

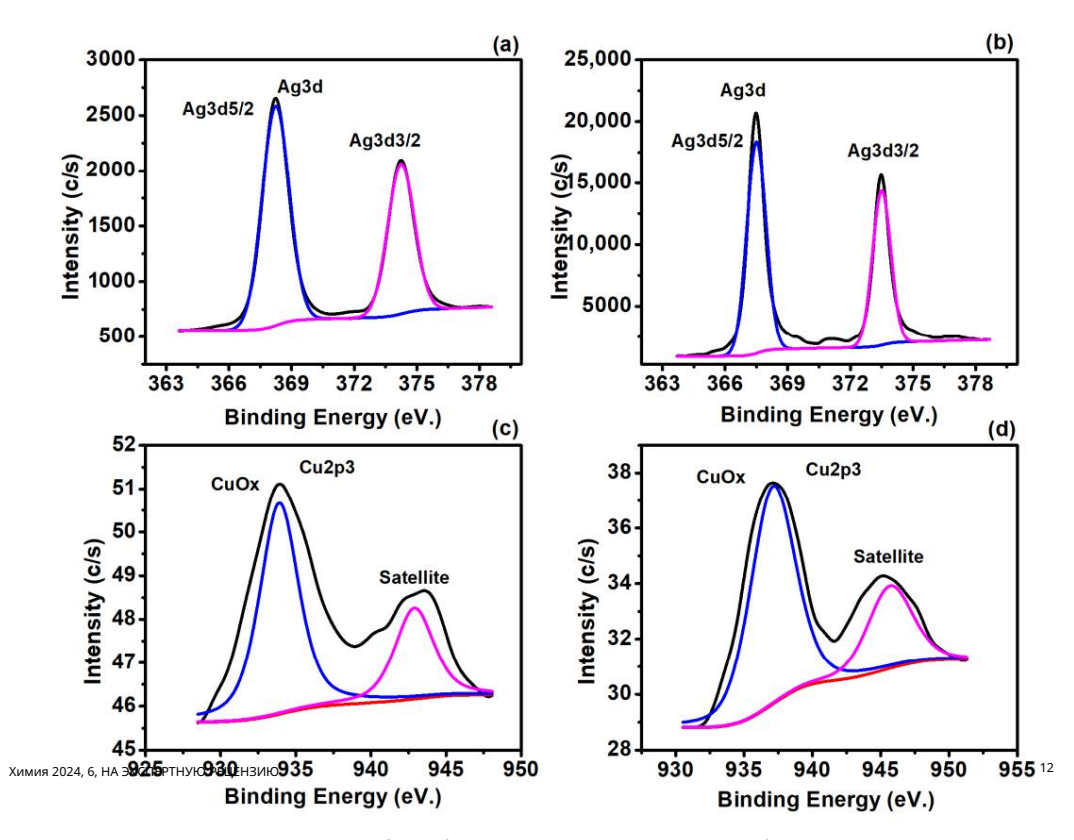


Рис. 8. (a,b) Ag3d-спактабы Agartio и мудений кусилению фотокаталитической деградации RB.

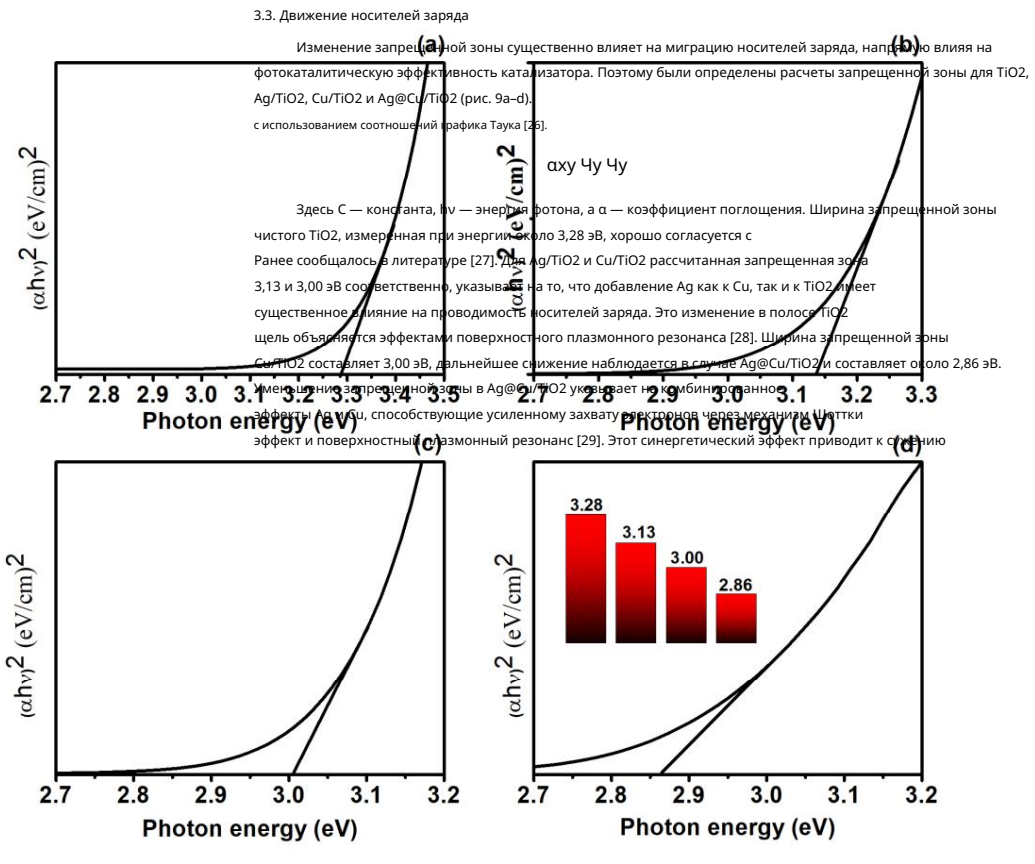


Рисунок 9. Анализ \$\frac{\text{\$47}\text{\$60}\text{\$160}\text{\$2}\text{\$460}

3.4. Коэффициент рекомбинации заряда

Коэффициент рекомбинации зарядов обратно пропорционален фотокаталитической эффективности.

Коэффициенты рекомбинации зарядов TiO2, Ag/TiO2, Cu/TiO2 и

Ag@Cu/TiO2 определяли по спектрам фотолюминесценции, как показано на рисунке 10. Анализ спектров
фотолюминесценции показал, что TiO2 демонстрирует пик
высокой интенсивности по сравнению с Ag/TiO2, Cu/TiO2 и Ag@Cu/TiO2, что указывает на
высокой коэффициент рекомбинации TiO2, что, как следствие, приводит к снижению фотокаталитической эффективности.

#### 3.3. Движение носителей заряда

Изменение запрещенной зоны существенно влияет на миграцию носителей заряда, напрямую влияя на фотокаталитическую эффективность катализатора. Поэтому расчеты запрещенной зоны для TiO2, Ag/TiO2, Cu/TiO2 и Ag@Cu/TiO2 (рис. 9a-d) были определены с использованием соотношений графика Тауца [26].

$$\alpha(h\nu) = C h\nu \quad Ea$$

Здесь С — константа, hv — энергия фотона, а с — коэффициент поглощения. Ширина запрещенной зоны чистого TiO2, измеренная при энергии около 3,28 эВ, хорошо согласуется с ранее опубликованными данными [27]. Для Ag/TiO2 и Cu/TiO2 рассчитанная ширина запрещенной зоны 3,13 и 3,00 эВ соответственно указывает на то, что добавление Ag как к Cu, так и к TiO2 оказывает существенное влияние на проводимость носителей заряда. Такое изменение ширины запрещенной зоны TiO2 объясняется эффектами поверхностного плазмонного резонанса [28]. Ширина запрещенной зоны Cu/TiO2 составляет 3,00 эВ, дальнейшее уменьшение наблюдается в случае Ag@Cu/TiO2 и составляет около 2,86 эВ. Уменьшение запрещенной зоны в Ag@Cu/TiO2 указывает на совместное влияние Ag и Cu, способствующее усилению захвата электронов за счет эффекта Шоттки и поверхностного плазмонного резонанса [29]. Этот синергетический эффект приводит к сужению запрещенной зоны, ускорению движения электронов и дырок в Ag@Cu/TiO2, что, как следствие, приводит к усилению фотокаталитичеся

#### 3.4. Коэффициент рекомбинации заряда

Коэффициент рекомбинации зарядов обратно пропорционален фотокаталитической эффективности . Коэффициенты рекомбинации зарядов TiO2, Ag/TiO2, Cu/TiO2 и Ag@Cu/TiO2 были определены с помощью спектров фотолюминесценции, как показано на рисунке 10. Анализ спектров фотолюминесценции показал, что TiO2 демонстрирует пик высокой интенсивности. по сравнению с Ag/TiO2, Cu/TiO2 и Ag@Cu/TiO2, что указывает на высокий коэффициент рекомбинации для TiO2, что, как следствие, приводит к снижению фотокаталитической эффективности. И наоборот, Ag@Cu/TiO2 имел низкую интенсивность, что предполагает более высокую эффективность разло ОБЗОРА Результаты фотолюминесценции согласуются с нашими фотокаталитическими данными, которые показали.

Chemistry 2024, 6, ДЛЯ ЭКСПЕРТНОЙ

TiO<sub>2</sub>
Ag/TiO<sub>2</sub>
Cu/TiO<sub>2</sub>
Ag@Cu/TiO<sub>2</sub>
Ag@Cu/TiO<sub>2</sub>
Ag@Cu/TiO<sub>2</sub>
Agwelength (nm.)

что эффективность разложения следующая: Ag@Cu/TiO2 > Cu/TiO2 > Ag/TiO2 > TiO2.

Purcyhok 10. Kooddhullarhti perkonfenhalluniosapsaga $Ti\Omega 2$  AgA/Di2CuTiDi22 AgAGCU2Di22 AgAGCU2Di22 .

#### 3.5. Фотокаталитическая деградация

РБ. Зависящий от времени УФ-Вид спектр РБ при УФ-Вид-облучении изображен на рисунке 9а, где характерный пик поглощения находится при λmax 545 нм, что является основной особенностью РБ. Наблюдая за рис. 9а, становится видно, что с увеличением времени облучения от 0 до 60 м пик поглощения постепенно уменьшается, что указывает на дерадиацию РБ 6 TiO2, A/TiO2, Cu/TiO2 и A@Cu/TiO2. под видимым светом.

#### 3.5. Фотокаталитическая деградация

РБ. Зависящий от времени УФ-Вид спектр РБ при УФ-Вид-облучении изображен на рисунке 9а, где характерный пик поглощения находится при λmax 545 нм, что является основной особенностью РБ. Наблюдая за рис. 9а, становится видно, что с увеличением времени облучения от 0 до 60 м пик поглощения постепенно уменьшается, что указывает на деградацию РБ под действием TiO2, Aq/TiO2, Cu/TiO2 и Aq@Cu/TiO2. под видимым светом.

Рисунок 9b,с иллюстрирует статистику деградации, демонстрируя, что эффективность деградации чистого TiO2 составляет примерно 24,41% в пределах 60 м облучения. Такая относительно низкая эффективность обусловлена большой запрещенной зоной и высокой скоростью рекомбинации заряда. С добавлением Ag эффективность разложения чистого TiO2 увеличилась примерно до 34,73% за тот же период. Это усиление обусловлено резонансом поверхностной фотолюминесценции, индуцированным серебром, которое подавляет рекомбинацию носителей заряда и, как следствие, усиливает деградацию PБ под действием Ag/TiO2 [25].

Эффективность разложения Cu/TiO2 составила примерно 68,38%, что в 2,82 раза выше, чем у чистого TiO2. Это улучшение связано с уменьшением коэффициента рекомбинации зарядов и введением активных центров, таких как кислородные вакансии, в чистый TiO2, что приводит к более эффективному захвату молекул RB и, таким образом, повышает эффективность разложения Cu/TiO2 [ 26]. Аналогично, комбинированный эффект серебра и меди проявляется в фотокаталитической эффективности тройного соединения Ag@Cu/TiO2, скорость разложения которого составила примерно 81,07%, что в 3,31 раза выше, чем у TiO2. Заметное улучшение связано с эффективным уменьшением рекомбинации электроннодырочных пар и введением большего количества активных центров для захвата молекул RB. Кроме того, введение серебра и меди в TiO2 привело к повышенному поглощению света, что еще больше способствовало общему улучшению. Более того, по мере увеличения эффективности разложения константа скорости реакции TiO2, Ag/TiO2, Cu/TiO2 и Ag@Cu/TiO2 также у Константа скорости реакции (рис. 11d) для Ag@Cu/TiO2 составила примерно 2,76 × 10–2.

кимия 2024, 6, НА ЭКСПЕРТНУЮ РЕЦЕНЗИРОЗЗА БОЛЬШЕ, ЧЕМ У ТІО2. КОНСТАНТА СКОРОСТИ РЕАКЦИИ ДЛЯ Ag/TіO2 и Cu/TіO2 составляла около 7,11 × 10–3 и 1,91 × 10–2 соответственно.

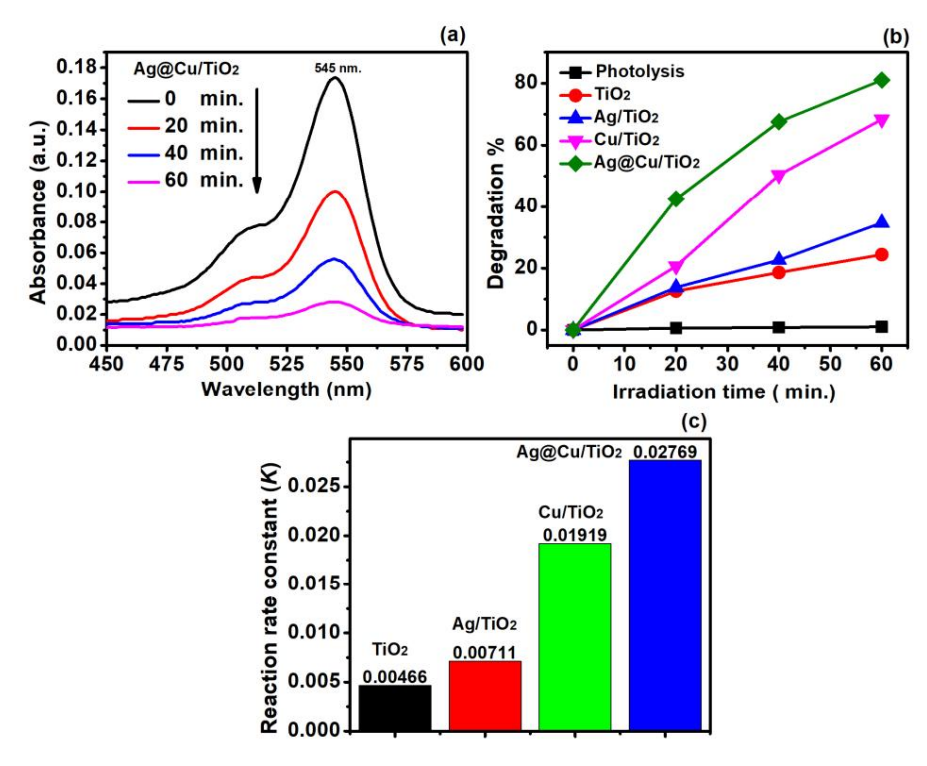


Рис. 11. (а) Временной УФ-Вид спектр РБ для Ag@Cu/TiO2, (б) статистика деградации и (в) Рис. 11. (а) Временной УФ-Вид спектр РБ для Ag@Cu/TiO2, (б) деградация и Ag@Cu/TiO2 константа скорости првакция и Ад@Cu/TiO2 при оптимивироватиятик вны на комистанта 200 мг. каждого катализатора в растворе объемом 250 мл. содержащем 30 мг/л красителя RB. оптимизированное значение 200 мг. каждого катализатора в растворе объемом 250 мл. содержащем 30 мг/л красителя RB.

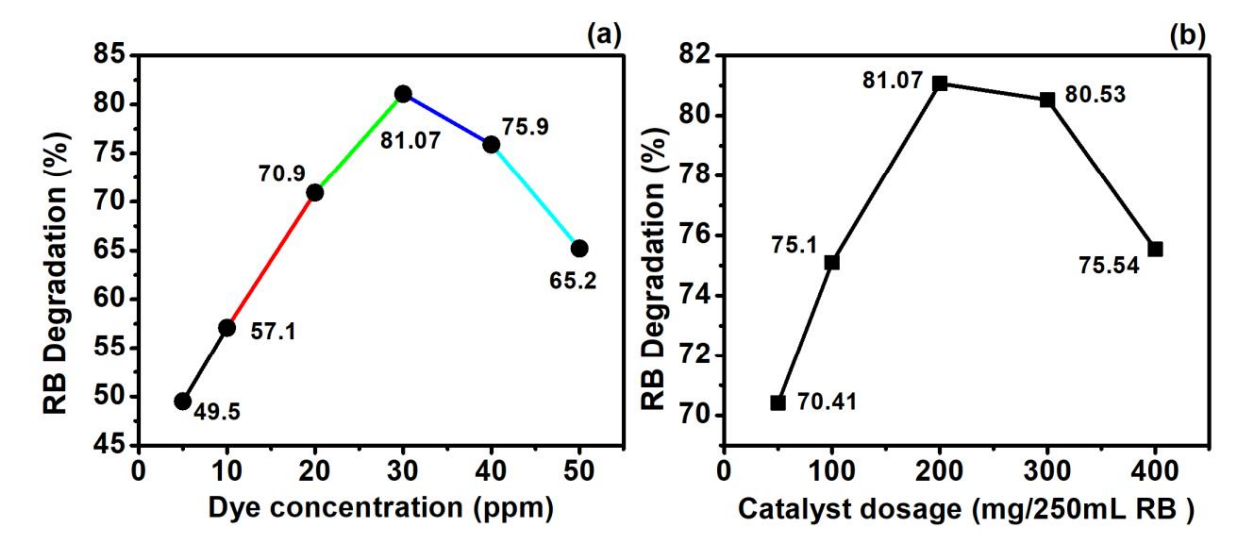
3.5.1. Влияние концентрации РБ

Концентрация красителя является решающим фактором, поскольку она может как повышать, так и снижать фотокаталитическую эффективность катализатора. Чтобы проверить это, была проведена серия реакций при различных концентрациях RB, а именно 5, 20, 30, 40 и 50 частей на миллион, сохраняя при этом дозировку Ag@Cu/TiO2 фиксированной на уровне 200 мг/250 мл и Интенсивность света галогенной лампы мощностью 500 Вт. Как показано на рисунке 12а, было обнаружено, что разложение RB достигает своего пика, около 81,07%, при концентрации RB 30 частей на миллион. Результаты показали прогрессивное увеличение

#### 3.5.1. Влияние концентрации РБ

Концентрация красителя является решающим фактором, поскольку она может как повышать, так и снижать фотокаталитическую эффективность катализатора. Чтобы проверить это, была проведена серия реакций при различных концентрациях RB, а именно 5, 20, 30, 40 и 50 частей на миллион, сохраняя при этом дозу Ag@Cu/TiO2 фиксированной на уровне 200 мг/250 мл и световой режим. интенсивность при галогенной лампе мощностью 500 Вт. Как показано на рисунке 12а, было обнаружено, что разложение RB достигает своего пика, около 81,07%, при концентрации RB 30 частей на миллион. Результаты показали постепенное увеличение скорости разложения с 5 частей на миллион до 30 частей на миллион, при этом значения разложения составили примерно 49,5%, 57,1%, 70,9% и 81,07% для 5 частей на миллион, 10 частей на миллион, 20 частей на миллион и 30 частей на миллион соответственно. Примечательно, что деградация RB начала снижаться после 30 ppm, при этом значения деградации составили 75,9% и 65,2% для 40 ppm и 50 ppm соответственно. Высокоэффективная фотокаталитическая эффективность Ag@Cu/TiO2 обусловлена растущей доступностью молекул красителя RB для возбуждения и переноса энергии с увеличением концентрации RB [30]. Однако при превышении критического

химия 2024, 6, на экспертную рецензи**ур**овня концентрации, в нашем случае 30 ppm, молекулы красителя начинают поглощать излучение <sup>15</sup> вместо поглощения Ag@Cu/TiO2, что приводит к снижению фотокаталитической эффективности Ag@Cu/TiO2. TuO2 [31].



### 335522. БВлияяниее дирээнироовники АброоссилТООО2

Результаты (рис. 1221) показыми, чтро эффективность Ауделси Гто2 вотночиении РДеградации РВрукопизичелегия: дверыдации увеличины растности, эффективность Аудельности, эффективность Аудельности, эффективность Арабо ВРО 250 гры и Страниченый растности, эффективность Страниченый растности, эффективность Страниченый растности ВРО 250 гры и Страниченый растность ВРО 250 гры и Страниченый ВРО 250 гры и Странич

быно-тамвереувентирение дозивание дозивание довет дозивки у 250 д. дозить предоставляться дозивания дозив

Такое снижение эффективности можно объяснить десорбцией и рассеянием света сверх определенной пороговой дозы Ag@Cu/TiO2 [29].

Возможность циклического повторного использования Ag@Cu/TiO2 оценивалась в течение семи последовательных циклов (см. Рисунок S2). Примечательно, что возможность повторного использования оставалась стабильной на уровне 79,96% даже после седьмого цикла. Эти результаты подчеркивают многообещающий потенциал Ag@Cu/TiO2 для красителя RB.

Такое снижение эффективности можно объяснить десорбцией и рассеянием света сверх определенной пороговой дозы Aq@Cu/TiO2 [29].

Возможность циклического повторного использования Ag@Cu/TiO2 оценивалась в течение семи последовательных циклов (см. Рисунок S2). Примечательно, что возможность повторного использования оставалась стабильной на уровне 79,96% даже после седьмого цикла. Эти результаты подчеркивают многообещающий потенциал Ag@Cu/TiO2 для деградации красителя RB под действием видимого света.

#### 3.5.3. Предлагаемый фотокаталитический механизм

На рисунке 13 изображен предполагаемый путь разложения Ag@Cu/TiO2 RB. Возможны три пути образования бинарных и тройных гетеропереходов с TiO2.

Энергетический уровень высшей занятой молекулярной орбитали Cu расположен между валентной зоной (VB) и

зоной проводимости (СВ) TiO2 , что способствует образованию бинарного гетероперехода. При облучении 16 видимым светом Си/TiO2 облегчает перенос дырки на Си, что приводит к транспорту электронов к ЦБ TiO2. Большое количество дырок в Си реагирует с RB, вызывая окисление и последующую деградацию RB. Кроме того, генерируемый СВ происходит в бинарном гетеропереходе Ag@TiO2 из-за различий в TiO2 , и электроны полазумыем, чтв. Аку жүрдей бажную ремыч к инстимуем ремыч к инстимуем

e. SPR e. e e 6. Charge Transfe e. e. e. e. e. e Ag e e e Charge Transte 2.51 eV TiO2 Transte Eg = 3.28 eV1.5 eV Mineralization h+ h+ OH. OH. h+ h+ h+ h+ h⁺ h⁺ **RB** Mineralization

Рисунок 13. Предполагаемый механизм разложения RB под действием Ag@Cu/TiO2 .

Рисунок 13. Предполагаемый механизм разложения РБ под действием Ag@Cu/TiO2.

#### 3.6. Производство водорода.

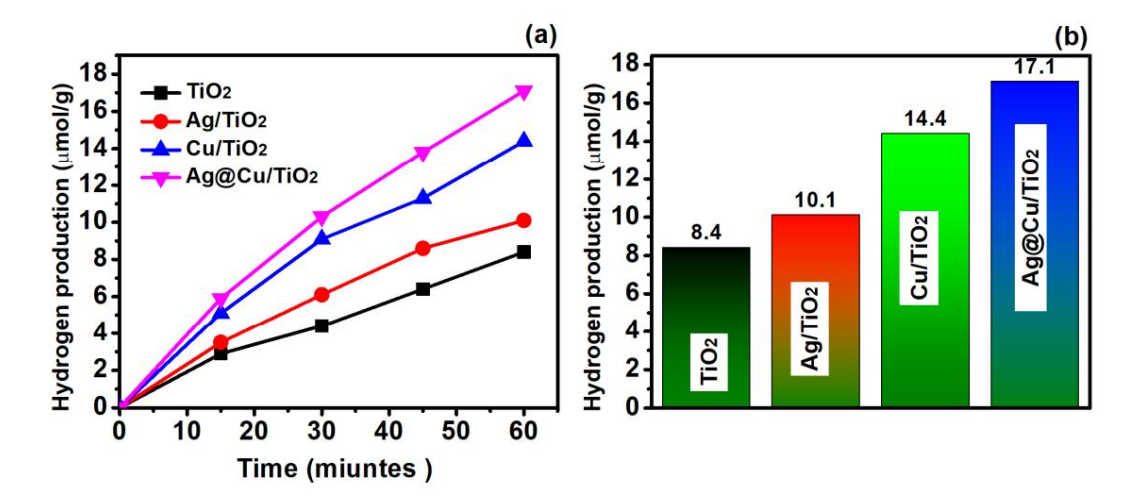
Используя 20%-ную концентрацию метанола в качестве поглотителя, мы оценили фотокаталитическое образование водорода TiO2, Ag/TiO2, Cu/TiO2 и Ag@Cu/TiO2. Результаты, как

#### 3.6. Производство

водорода. Используя 20%-ную концентрацию метанола в качестве поглотителя, мы оценили фотокаталитическое образование водорода TiO2, Ag/TiO2, Cu/TiO2 и Ag@Cu/TiO2. Результаты, как показано на рисунке 14, показывают, что чистый TiO2 демонстрировал более медленную скорость производства водорода (8,4

Chemistry 2024, 6, FOR PEER REVIE**W**кмоль ч-1 г значительно увеличилась до 10,1 мкмоль ч-1 г при добавлении Ag). Это улучшение 17 может быть связано с ролью Ag в улучшении разделения носителей заряда [34]. Более того, было замечено, что Cu/TiO2 обладает более высокой способностью к производству водорода по

сравнению с Ад/ТіО2, с приблизительным значением 14,4 мкмоль 1. Производство водорода , · ч. Было обнаружено , что концентрация Ag@Cu/TiO2 составляет около 17,1 мкмоль ч-1 г-1, что позволяет предположить, что содержание Ag и Cu в составе Ag@Cu/ предполагающее, что Ag и Cu TiO2 составляет около 17,1 мкмоль ч-1 г. что вносит существенный вклад в увеличение производства водорода в чистом TiO2 [35] дополнительно способствует увеличению производства водорода в чистом TiO2 [35] дополнительно способствует увеличению производства водорода в чистом TiO2 [35] кроме того, РФЭС-анализ О1 также указывает на заметное увеличение кислородных вакансий . РФЭС-анализ О1 указывает на заметное увеличение кислородных вакансий для Ag@Cu/TiO2 по сравнению с чистыми TiO2, Cu/TiO2 и Ag/TiO2. Это наблюдение для Ag@Cu/TiO2 по сравнению с чистыми TiO2, Cu/TiO2 это наблюдение служит еще одним фактором, способствующим увеличению производства водорода. служит еще одним фактором, способствующим увеличению производства водорода.



ЯрьунавьДА-da.вьДьородатного романиков расположатію вило 2022 онцёнда и фей четі Полагочую че 1 еста до полотителя.

## <del>1</del>6. Рындоды 4.

Тачнод обретаюм тогр эзой, на объем обрановано воменный разовительной учетельностью учетельностью выступнований выступный вывычающий выступный выступный выступный выступный выступный выступный вы

Дополнительные материалы: следующую вспомогательную информацию можно загрузить по адресу: https://www.mdpi.com/дополнительные материалы: следующую вспомогательную информацию можно загрузить по адресу: https://www.mdpi.com/дополнительные материалы: следующую вспомогательную информацию можно загрузить по адресу: https://www.mdpi.com/дополнительные материалы: cледующую вспомогательную информацию можно загрузить по адресу: https://www.mdpi.com/дотолнительные материалы: cледующую можно загрузить по адресу: https://www.mdpi.com/дотолнительные можно загрузить можно загрузить по адресу: https://www.mdpi.com/дотолнительные можно загрузить можно загрузить по адресу: https://www.mdpi.com/дотолнительные можно загрузить по адресу. https://www.mdpi.com/дотолнительные можно загрузить на вистельные можно загрузить можно загрузить можно загрузить в загрузить можно загрузить

Вклад авторов: концептуализация, SY, AJ, PK, SAA и MOA; Курирование данных, SS и SY; Формальный анализ, SY, SS и SAA; Приобретение финансирования, SY и PK; Расследование SY, AJ, PK, SAA, MOA и MA; Методология, SY, PK, AJ и MOA; Администрация проекта, SY, AJ, PK и MOA; Ресурсы, SY, AJ, ПК и MOA; Программное обеспечение, CC и MA; Надзор, AJ, ПК и MOA; Валидация, SY и MA; Визуализация, CИ, ПК, CAA и MOA; Письмо — первоначальный вариант, SY и MA; Написание — обзор и редактирование, SY, AJ, PK и MOA Все

Вклад авторов: концептуализация, SY, AJ, PK, SAA и MOA; Курирование данных, SS и СИ; Формальный анализ, SY, SS и SAA; Приобретение финансирования, SY и PK; Расследование С.Ю., А.Дж., ПК, САА, МОА и МА; Методология, SY, PK, AJ и МОА; Администрация проекта, SY, AJ, PK и МОА; Ресурсы, SY, AJ, ПК и МОА; Программное обеспечение, СС и МА; Надзор, АJ, ПК и МОА; Валидация, SY и MA; Визуализация, CИ, ПК, САА и МОА; Письмо — первоначальный вариант, SY и MA; Написание — рецензирование и редактирование, SY, AJ, PK и MOA. Все авторы прочитали и согласились с условиями. Химия 2024, 6, НА ЭКСПЕРТНУКО РЕЦЕНЗИНО вариант рукописи.

> Финансирование: Оба автора (Прамод Кумар и Сатиш Ядав) хотели бы поблагодарить Высшее Департаменту образования правительства штата Уттар-Прадеш (Индия) за оказание финансовой помощи. и стипендикомы рамина кранита 2022/001-4-3**4-370-220**27 61.10.2022022)

Химия 2024, 6, НА ЭКСПЕРТН<u>ХИР РЕЦЕНЗИН</u> автронието даспункостындын булууларекие булуун наред*остивло*ны по запросу.

БлагодарнфлагоффанавторафПрагора (Сураария Кратин Прав) и Прав) и Оразования правительстваевитель!Спвары:Празде\ит(Ир-Дира)давил(федфия») ваетредфилаамеевейфлонаецрв Фетаритемдим выразеГраобрааовилиадования и обучение **претиперим (Ридентика)** и постедения претиперати и претипера 89/2022/1052/1052/1052/22). -4-2022/001-4-32-2022 от 11.10.2022).

```
Рекомендации
Рекомендации
```

Благодарности: Оба автора (Прамод Кумар и Сатиш Ядав) хотели бы поблагодарить Департамент высшего образования правительства штата Уттар-Прадеш (Индия) за предоставление финансов. 1. Фенг, А.; Фэн, Дж.; Син, В.;

Цзян, К.; Тан, В. Универсальные применения электрохимических проточных систем в очистке воды тан В. Универсальное применение электрохимических проточных систем в очистке воды тан В. Универсальное применение электрохимических проточных систем в очистке воды так В. Универсальное применение электрохимических проточных систем в очистке воды так В. Универсальное применение электрохимических проточных систем в очистке воды так В. Универсальное применение электрохимических проточных систем в очистке воды так В. Универсальное применение электрохимических проточных систем в очистке воды в очистке воды так В. Универсальное применение электрохимических проточных систем в очистке воды в очистке в о Процессы. хим. англ. J. 2023, 4<sup>7</sup>3, 145400. [CrossRef] Процессы лечения. хим. англ. J. 2023, 473*A*1254200 (8942**92-2/0525**6т 11.10.2022).

и мембранная фильтрация в очистке воды/сточных вод, компликсным очауы, д. А. Азауд, мытру, доб тер. 7,000 тер. 2000 тер. 2000

13. Лей, Б.; Робертсон, Н. Мёзокристаллы 102: Мыхобилизация, Поверхностное фторирование и применение в фотокатализической очистке воды.
11. Фжове Плум. Фирминт: ваука-2023 мінбы 1508 фоторовативность гетерогенных фотокатализаторов New Rose Bengal-SiO2 с
Прил. Серфинг. Наук. 2023, 616, 156487. [сгоѕкет]
14. Арабхания П.; Салдин, Н.; Садеги, К.; Саризания и припурс Кисахти С.: Гарагания, М.; Асфарам А. Зеленый цвет опосредованный растительными экстрактами
14. Арабхания П.; Сандин, Н.; Садеги, К.; Нуриппурс Кисахт, С.: Гарагания, М.; Асфарам А. Зеленый цвет опосредованный растительными экстрактами
12. Цинваважна комприятивая оксум нужнамы предначения одажнами ображном приня при

для очистки сточных вод. дж. водный процесс, инженер. 2023, 54, 104020. [CrossRef]

15. Го, М. Полнес-бый краствары в в разменер в

неума интериемся, 4мсэ, оэт, ээ-чэ. (перекрестная ссылка) [Рирмед]
16 сыриктоформдется, КК. Н9оэн асчеток до гранатими интерисра производство водорода: разрыв в энергоснаюжении будущего. ChemCatChe 14. Арабхани, П.;
16. Христоформдус, К. К., Форнасьеро, П. Фотокаталитическое производство водорода: разрыв в энергоснаюжении будущего. ChemCatChem
2017, 9, 1523–1544. Перекрестная сырика производство водорода: разрыв в энергоснаюжении будущего. Сремса производство в производство в разрыв в энергоснаюжении будущего. Сремса производство в производство в производство в разрыв в энергоснаюжении будущего. Сремса производство в прои

2017, 9, 1523-1544. [Перекрестная ссылка]
17. Донг, Ба-Фэн, Джи, Арацы Мх Вид Юз. Хво Ла Хатъв Хо Две Максан Джу Сэан Джу Ородоведние разработки в области гетерогенных фотокатализаторов.
17. Донг, С.; Фэн, Дж.; Фан, М.; Тин, Ю.; Ху, Л.; Хан, Х.; Лю, М.; Сан, Дж.; Сан, Дж. Последние разработки в области гетерогенных фотокаталитических технологий.
15. ГОчмст ко звидив с обложе званием фотокатализаторов, чувствительных к видимому сваех ребора дну бырва доздан быбовенных с последнием образованием фотокатализаторов, чувствительных к видимому свееху: обзор. РСК Адв. 2015, 5, 146 10-14630. [Перекрестная ссылка]
18. Паланиулыми ду «кс Ирчво навразы» с «Симечный свиженным фотокаталитическом гразованием цемпа последного представа с последного представа с представа с последного представа с предста дл**қ раания м հ Рець ренк с р дэр, энд Дэз\_Мэ**тер. наук. Матер. Электрон. 2020, 31, 14795–14809. https://doi.org/10.1007/s10854

16. Христофоридис, К.К.; Форнасьеро, П. Фотокаталитическое производство водорода: разрыв в энергоснабжении будущего. ChemCatCh 19. Тайеб, АМ; Хусейн Д.С. Синте<u>ж на</u>вороство ТiO2 и их фотокаталитическая активность в отношении метиленового синего. Являюсь. 2017, 9, 1523–1544. https://doi.org/10.1002/

17. 点相构 性。 译字 245, 备 5, м3. Пи, Ю.; Ху, Л.; Хан, Х.; Лю, М.; Сан, Дж.; Сан, Дж. Последние разработки в области гетерогенного фотокатализа.

20. Ли, 3. เฟลิชเกร็รเปริสาผลใน โดยเนตสนานตามอลาดอุซิดสุ: Кирв сาชินาสะกรเล่นกร ดุหลกลุมเพลงแห่วยอย่างจะส่วนจะคือ เพลง โดยเรื่องกระที่ (พ.ศ. 1905) (

18. Паланисами, В.К.; Манохаран, К.; Раман, К.; Сундарам, Р. Эффективное фотокаталитическое поведение наностержней сульфида цинка под действием солнечного света в отношении разложения бенгальской розы. Дж. Матер. наук. Матер. Электрон. 2020, 31, 14795–14809. [Перекрестная ссылка]

- 19. Тайеб, АМ; Хусейн Д.С. Синтез наночастиц TiO2 и их фотокаталитическая активность в отношении метиленового синего. Являюсь. Дж. Наноматер. 2015, 3, 57-63.
- 20. Ли, 3.; Мэн, X.; Чжан 3. Последние разработки в области фотокатализа на основе MoS2: обзор. Дж. Фотохим. Фотобиол. С Фотохим. Ред. 2018. 35. 39–55. [Перекрестная ссылка]
- 21. Ли, З.; Ван, С.; Ву, Дж.; Чжоу, В. Недавний прогресс в области дефектных фотокатализаторов TiO2 для применения в энергетике и охране окружающей среды. Обновить. Поддерживать. Energy Rev. 2022, 156, 111980. [CrossRef]
- 22. Чун-Те Лин, Дж.; Сопаджари, К.; Джитджанесуван, Т.; Лу, М.-К. Применение видимого света на диоксиде титана, легированном медью, катализирующем деградацию хлорфенолов. Сентябрь Пуриф. Технол. 2018, 191, 233–243.
- 23. Чжан Х.; Ван, Г.; Чен, Д.; Льв, Х.; Ли, Дж. Настройка фотоэлектрохимических характеристик нанокомпозитов Ag-TiO2 с помощью Восстановление/окисление Ag. хим. Матер. 2008, 20, 6543–6549. [Перекрестная ссылка]
- 24. Вс, М.; Ван, Ю.; Фанг, Ю.; Солнце, С.; Ю, 3. Создание тройных композитов MoS2/CdS/TiO2 с усиленным фотокаталитическим действием. Активность и стабильность. J. Сплавы. Сборник. 2016, 684, 335–341. [Перекрестная ссылка]
- 25. Дастгер, М.Р.; Асма, СТ; Джилани, А.; Раза, К.; Хусейн, СЗ; Шакур, МБ; Икбал, Дж.; Абдель-Вахаб, МЅ; Дарвеш, Р. Синтез и характеристика новых однофазных напыленных тонких пленок Cu2O: структурная, антибактериальная активность и фотокаталитическая деградация метиленового синего. Heopr. хим. Коммун. 2021, 128, 108606. [CrossRef]
- 26. Джилани А.; Икбал, Дж.; Рафик, С.; Абдель-Вахаб, МS; Джамиль, Ю.; Аль-Гамди, А.А. Морфологические, оптические и рентгеновские фотоэлектронно -химические исследования слвига состояния тонких пленок ZnO. Оптик 2016. 127. 6358–6365. [Перекрестная ссылка]
- 27. Кумари А.; Заман, М.; Кумар, А.; Сингх, VR; Гош, А.; Саху, СК; Рахаман, А.; Мандал, Словакия; Бхуния, С. Альтернативный подход к изучению фотокаталитического поведения TiO2 с использованием передовых спектроскопических методов на основе синхротрона. Дж. Матер. англ. Выполните 2023, 32, 10391–10401. [Перекрестная ссылка]
- 28. Ши, Ю.; Ли, Л.; Сюй, З.; Го, Ф.; Ли, Ю.; Ши, В. Синергетическая связь пьезоэлектрических и плазмонных эффектов регулирует барьер Шоттки в гетероструктуре наночастиц Ag/ультратонких нанолистов g-C3N4 для усиления фотокаталитической активности. Прил. Серфинг. наук. 2023, 616, 156466. [CrossRef]
- 29. Ди, С.; Го, С.; Ван, Ю.; Ван, В.; Юнг, Ю.М.; Чен, Л.; Ван, Л. Влияние поверхностного плазмонного резонанса на перенос заряда в Ag@ Композиты Cu2O-rGO. Матео. хим. Физ. 2023. 301. 127621. [CrossRef]
- 30. Ханафи, МФ; Сапаве, Н. Влияние начальной концентрации на фотокаталитическое разложение красителя ремазола бриллиантового синего при использовании Никелевый катализатор. Матер. Сегодня Проц. 2020, 31, 318–320. [Перекрестная ссылка]
- 31. Реза, К.М.; Курный, А.; Гульшан, Ф. Параметры, влияющие на фотокаталитическое разложение красителей с использованием TiO2 : обзор. Прил. Наука о воде. 2017, 7, 1569-1578. [Перекрестная ссылка]
- 32. Мансфельдова В.; Зламалова М.; Тарабкова, Х.; Янда, П.; Ворохта, М.; Пилиай, Л.; Каван, Л. Работа выхода монокристаллов TiO2 (анатаз, рутил и брукит): влияние окружающей среды. Дж. Физ. хим. С 2021, 125, 1902–1912. [Перекрестная ссылка]
- 33. Хуанг, К.; Ли, К.; Чжэн, Ю.; Ван, Л.; Ван, В.; Мэн, Х. Последние достижения в фотокотрозии, повышение чувствительности к видимому свету и ускорение разделения зарядов. Сентябрь Пуриф. Технол. 2022, 283, 120194
- 34. Ядав А.А.; Хунге, Ю.М.; Канг, С.-В. Губчатая шарообразная наноструктура оксида меди, модифицированная восстановленным оксидом графена для увеличения фотокаталитического производства водорода. Матер. Рез. Бык. 2021, 133, 111026. [CrossRef]
- 35. Ву, Д.; Лю, Х.; Чен, Дж.; Лю, В.; Хистанд, Г.; Ван, Т. Сшитые микропористые трехмерные гидрогели с восстановленным графеном в качестве фотокатализатора выделения водорода.

  Ј. Наука о коллоидном интерфейсе. 2020, 577, 441–449. [Перекрестная ссылка]

Отказ от ответственности/Примечание издателя: Заявления, мнения и данные, содержащиеся во всех публикациях, принадлежат исключительно отдельному автору(ам) и соавторам(ам), а не MDPI и/или редактору(ам). MDPI и/или редактор(ы) не несут ответственности за любой вред людям или имуществу, возникший в результате любых идей, методов, инструкций или продуктов, упомянутых в контенте.